

кации двойных звезд, в частности тесных и различающихся сильно по блеску. Не ставятся ли такие задачи?

И. М. Копылов. Все зависит от относительной яркости компонентов и расстояния между ними. Вообще, такие работы производятся. Количественная классификация не проводилась, но классификация в системе *MK* проводилась.

В 138-ом томе «Астрофизикал Джорнал» помещена классификация звезд примерно около 120 пар, т. е. около 250 звезд, так что в принципе эта задача вполне разрешимая, но имеются ограничения в смысле яркости. В некоторых случаях, если звезды расположены по склонению, можно разделить очень тесные пары. Если расстояние порядка 2–3 секунд, то уже разделить звезды трудно, или нужно иметь очень длиннофокусный телескоп. Аналогичное ограничение накладывается и на относительную яркость. Слабую звезду трудно выделять из-за контраста.

СООБЩЕНИЕ В. СТРАЙЖИСА И К. ЗДАНАВИЧЮСА (ВИЛЬНЮС)
О ВЫБОРЕ СПЕКТРАЛЬНЫХ РАЙОНОВ ДЛЯ
ГЕТЕРОХРОМНОЙ ФОТОМЕТРИИ

В предыдущем исследовании (Вильнюс. Бюлл. 1963, № 6; Астрон. Ц. 1963, № 254) было показано, что трехцветная система, включающая узкополосные величины X и Y около 4000 и 4500 ангстрем, соответственно, является весьма полезной для определения межзвездного поглощения чисто фотометрическим путем. При этом предполагалось, что подходящий выбор третьей величины Z в районе спектра 5000–6000 ангстрем может уменьшить разделение классов светимости на диаграмме $X-Y$, $Y-Z$.

С целью проверки последнего предположения и уточнения положений полос реакции X и Y было произведено численное интегрирование кривых распределения энергии $J(\lambda)$ в спектрах следующих непокрасневших звезд: $B0V$, $A0V$, $F0V$, $G0V$, $O9.5Ib$, $B0Ia$, $A2Ia$ и $F5Ib$. Во всех кривых $J(\lambda)$ учитывался эффект линий поглощения. Ширины всех полос реакции — 400 ангстрем.

Оказалось, что при изменении λ_{eff} от 5000 до 6500 ангстрем нельзя найти такого положения полосы реакции величин Z , которое в комбинации с X и Y давало бы совпадение карликов и сверхгигантов. Однако почти на всех диаграммах $X-Y$, $Y-Z$ звезда $F5Ib$ лежит почти точно на линии главной последовательности. Это дает возможность по диаграмме $X-Y$, $Y-Z$ однозначно отделить звезды более ранние, чем $F5$ (с различными межзвездными покраснениями) от более поздних звезд (рис. 1). Они будут представлять смесь звезд различных светимостей для определения которых необходимы другие диаграммы, о которых речь будет идти ниже. Здесь же рассмотрим другие свойства, которыми обладают диаграммы типа $X-Y$, $Y-Z$.

Главная последовательность на некоторых из них имеет слабый изгиб в районе спектрального класса A , который является весьма желательным, так как уменьшает точность определения фотометрического спектрального класса. Оказалось, что уменьшить изгиб можно сдвигами полос реакции X и Z при постоянном Y . На рис. 2 показано изменение угла β между линией $B0V-A0V$ и продолжением линии $L0V-F0V$ в зависимости от положения средних длин волн величин X и Z . При положении средней волны X на 4025 ангстрем имеется лише

X-Y

иально по яркости компоненты. Такие работы производятся. Но классификация в помешена классификация 50 звезд, так что в принципе имеются ограничения в смысле расположены по склонению. Если расстояние порядка одно, или нужно иметь очень ограничение накладывается и трудно выделять из-за

навикуса (Вильнюс) районов для фотометрии

Бюлл. 1963, № 6; Астрон. Цветная система, включающая 0 и 4500 ангстрем, соответствует определению межзвездного . При этом предполагалось, Z в районе спектра 5000—5500 нанометров включает в себя 50 звезд, так что в принципе имеется ограничение в смысле расположены по склонению.

Положения и уточнения положено численное интегрирование в спектрах следующих нейтральных звезд: $G0V$, $O9.5Ia$, $B0Ia$, $A2Ia$ и $F5Ib$. При этом предполагалось, что звезда $F5Ib$ лежит почти точно на диаграмме, что дает возможность по диаграмме определить возраст звезды более ранние, чем $F5$ (или $F5Ib$). Для звезд с более поздними звездами различных светимостей, другие диаграммы, о которых говорится в статье, имеют другие свойства, которые

из которых из них имеет слабый изгиб, который является весьма неопределенным. Уменьшение изгиба можно уменьшить, если использовать значение X . На рис. 2 показано, что при постоянном значении X и продолжении линии изображения звезды с более поздними звездами различных светимостей, другие диаграммы, о которых говорится в статье, имеют другие свойства, которые

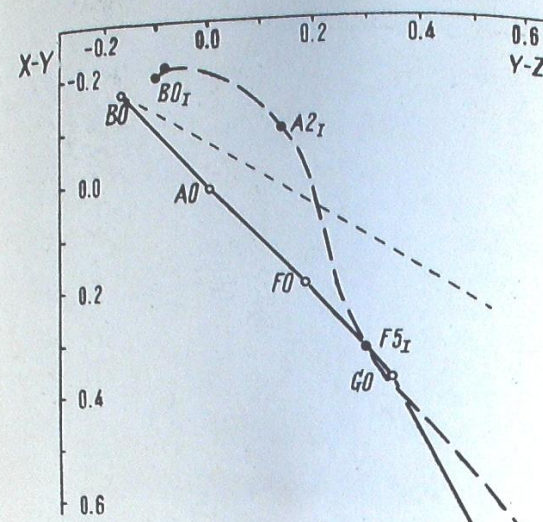


Рис. 1

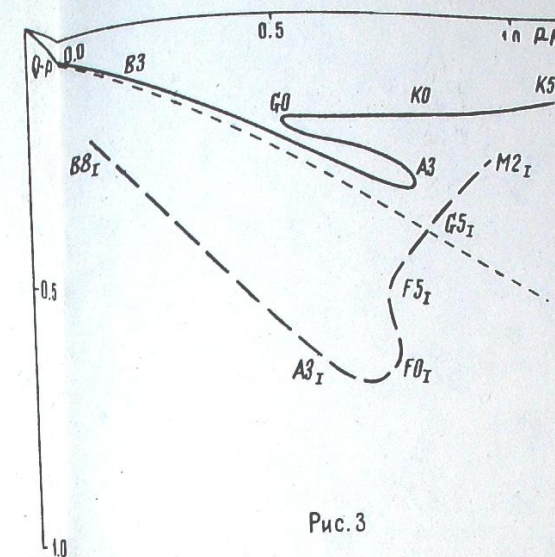


Рис. 3

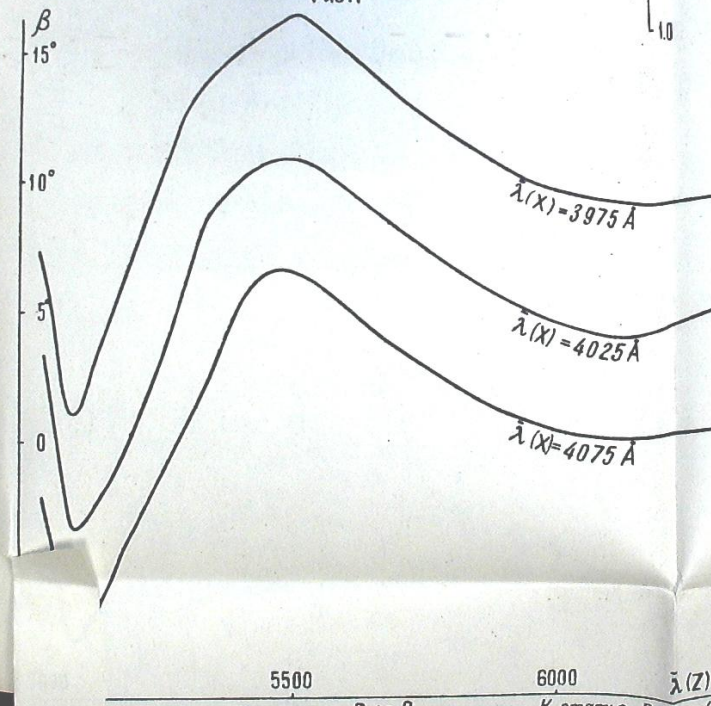


Рис. 2

К статье В. Страусис. Абаст. Бюлл. 33.

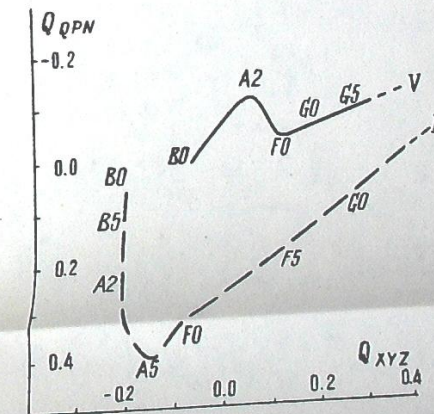


Рис. 4

Рис. 1. Диаграмма $X-Y$, $Y-Z$ с прямолинейной главной последовательностью. Прерывистая линия — сверхгиганты, пунктир — линия покрасления звезды $B0V$.

Средние длины волн: $\bar{\lambda}(X) = 4025$, $\bar{\lambda}(Y) = 4475$, $\bar{\lambda}(Z) = 5175$ ангст.

Рис. 2. Зависимость прямолинейности главной последовательности от положений полос реакции величин X и Z при постоянном значении $\bar{\lambda}(Y) = 4475$ ангст.

Рис. 3. Диаграмма $Q-PN$, $P-N$ Боргмана. Пунктир — линия покрасления звезды $B0V$.

Рис. 4. Диаграмма Q_{QPN} , Q_{XYZ} , на которой происходит полное отделение карликов (сплошная линия) и сверхгигантов (прерывистая линия).

один район длии волн (5050—5200 ангстрем), в котором должна быть расположена полоса реакции Z , чтобы отсутствовал изгиб главной последовательности ($\beta=0$). При положении X на 4075 ангстрем таких районов для величин Z уже два — около 5300 и 6000—6200 ангстрем.

Угол γ между главной последовательностью и линией покраснения на диаграммах $X-Y$, $Y-Z$ зависит от двух факторов — чисто геометрического измерения угла при изменении величины колор-индекса $Y-Z$ (масштабный эффект) и истинного изменения угла, зависящего от кривых $J(\lambda)$. Оказалось, что максимальный угол γ получается при положении Z в районе 5300—5500 ангстрем (если средние длины волн величин X и Y равны 4025 и 4475 ангстр.).

Как известно, звезды B , A и F различных светимостей значительно отличаются своими ультрафиолетовыми градиентами, положениями и величинами бальмеровского скачка. Особенно выгодна для определения светимостей диаграмма Боргмана (*BAN*, 1963, 17, 58), включающая величины Q (3560 анг.), P (3750 анг.) и N (4055 анг.). На диаграмме $Q-P$, $P-N$ (рис. 3) звезды главной последовательности полностью отделяются от сверхгигантов $B-A-F$ линией покраснения звезд $B0V$. Это создает возможность, комбинируя диаграммы $X-Y$, $Y-Z$ и $Q-P$, $P-N$, достичь однозначного определения светимости ранних звезд Q -методом. На рис. 4 показана диаграмма Q_{xy} , Q_{QPN} , которая является аналогом диаграммы Боргмана (*a*, *e*). Таким образом, в пятицветной системе Q , P , X , Y , Z (так как $N \approx X$) возможно чисто фотометрическое однозначное определение спектральных классов, светимостей и межзвездных покраснений всех ранних звезд до $F5$ или до $G0$.

СООБЩЕНИЕ М. Е. БОЯРЧУК (КРЫМ) О ВОДОРОДНЫХ ЛИНИЯХ, КАК КРИТЕРИЯХ КЛАССИФИКАЦИИ ПО СВЕТИМОСТИ ЗВЕЗД A И F

Я хочу сказать несколько слов о водородных линиях как критериях классификации звезд по светимости. Когда мы говорим о таких фундаментальных параметрах звезд, как спектральный класс, светимость, то нужно не забывать о тех физических процессах, которые происходят в атмосферах звезд. Это поможет более правильно делать некоторые эволюционные обобщения.

Известно, что водородные линии являются хорошими критериями для определения светимости звезд в ранних и поздних спектральных классах. Однако на вид в диапазоне спектральных классов F водородные линии кажутся одинаковыми.

Чтобы проверить это количественно, было проведено сравнение контуров линий поглощения водорода для звезд $F5-F8$ разной светимости. По спектрограммам, с дисперсией 23.4 ангстрем мм у $H\gamma$, полученным на 50" телескопе Крымской астрофизической обсерватории, было показано, что контуры линий поглощения водорода для звезд различной светимости практически совпадают, в то время, как для звезд A они очень различны. Это наглядно представлено на рисунках. На рис. 1 приведены контуры линий поглощения водорода A -звезд, отличающихся по абсолютной величине на 8 величин. Видно, что для сверхгигантов A контуры примерно в 4 раза уже, чем для карликов. На рис. 2 приведены контуры линий поглощения водорода для звезд